

## 連続浮板の波による応答解析

大阪市立大学 正員 小林 治俊

〃 〃 國田 審一郎

**[1] まえがき** 海洋波と構造物の相互作用は非常に興味ある問題であるが、半浸水以外の浮き構造物についての研究は数少く Stoker<sup>1)</sup> Wen-Shinoguka<sup>2)</sup>による弾性梁, Wen<sup>3)</sup>による弾性矩形板, 丹羽等<sup>4)</sup>による任意形状剛平板に対するものなどがあるが、これらはすべて単体に対するもので、しかもその解析は複雑である。この解析法を連続形態の浮き構造に適用することは困難であるものと思われる。本文は連続剛性浮板に対する伝達マトリックス法を用いた解析法を示すと共に、この方法を浮き弾性構造解析へ応用することを試したものである。

**[2] 連続浮板構造と座標系の決定**

本文では、図1に示されている様に剛板が夫々は回転バネ(K)で結合され、更に水底とは弾性バネ(fa)によって保留在連続浮板構造に対する2次元平面波による周期応答解析を行なうものであるが、

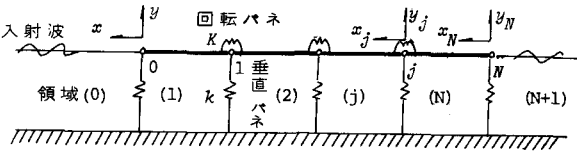


図1 連続浮板構造と座標系

(2-1) 浮板の存在する領域 — shallow water theory に従えば、連続ボテンシャルは次式を満足す。

$$\begin{aligned} \eta_{xx} = \frac{1}{gh} \eta_{tt}, \quad x > 0 \text{ 且 } x_N < 0 \quad (1) \quad \text{添字は } x, t \text{ (時間) } \Rightarrow \text{より微分を意味し, } g = \text{重力加速度,} \\ h = \text{水深。} \quad \text{波は周波数 } \sigma \text{ の調和運動として } (1) \text{ の } \eta(x, t) = \varphi(x) e^{i\sigma t} \quad (2) \text{ とおき (1) へ代入す} \\ \text{と,} \quad \varphi_{xx} + \varphi \sigma^2 / gh = 0 \quad (3) \quad \text{を得る。} \quad x_N < 0 \text{ で進行波のみが存在する} \Rightarrow \text{考慮す} \\ \text{と (3) 式の解より} \varphi \text{ は次の様に決定す, } z = i = \left. \begin{array}{l} \varphi^{(1)}(x) = C e^{isx} + R e^{-isx}: x > 0 \\ \varphi^{(2)}(x) = T e^{isx} \end{array} \right\} : x_N < 0 \quad (4) \\ s = \sigma / \sqrt{gh} = 2\pi/L \quad (L: \text{波長}), C = \text{入射波高, } IRI, ITI \text{ は} \eta \text{ の反射率, 通過率。} \end{aligned}$$

**[2-2] 浮板の存在する領域 — 板は微小運動するものとし**

て、図2を参照すれば板の運動は、  $\eta(x, t) = y e^{i\sigma t} = (y^L + w x) e^{i\sigma t} \quad (5)$

と書ける。Lは区間左端の値で意味し  $w$  は板の重心の回転角。さて板の存在

する区間では、水面波形は  $\eta^L$  は等しいと考えられるので水面波形と連続ボテ

ンシャルの関係:  $\eta^L = -H \eta_{xx} \quad (6)$ ,  $(H = h - h')$ ,  $h'$  = 板の吃水長)

と式(2)(5)とよりボテンシャルは  $\eta_{xx} = -\frac{i\sigma}{H} (\eta^L + w x) \quad (7)$  となる。

式(7)の積分をくり返すと,  $\eta_x = -\frac{i\sigma}{H} (\eta^L x + \omega \frac{x^2}{2}) + A$ ,  $\eta = -\frac{i\sigma}{H} (\eta^L \frac{x^2}{2} + \omega \frac{x^3}{6}) + Ax + B \quad (8)$

が得られ、浮板の存在する区間すべてにおいて成立する。  $x=0$  で入力  $A = \eta_x^L$ ,  $B = \eta^L$  を得る。

**[3] 伝達マトリックス法による解析**

(3-1) 伝達マトリックス — (5)(8)式を  $x = -L$  へ代入すと次式を得る。

$$\eta^R = \eta^L + \beta_1 \eta_x^L + \gamma_1 \eta^L + \delta_1 \omega, \quad \eta_x^R = \eta_x^L + \beta_2 \eta^L + \gamma_2 \omega, \quad \eta^R = \eta^L + \delta_2 \omega \quad (9)$$

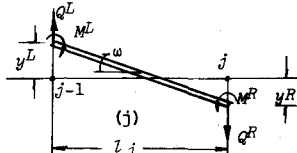
$\beta_1, \gamma_1, \delta_1$  並びに式(15)は与えられていく。記号 R は  $x = -L$  の値即ち区間右端の値を意味する。次に板に

作用する圧力分布式  $P = -\rho \eta_{tt} - \rho g \eta$  ( $\rho$ : 水の密度) を用い、図2を参照して (1) 垂直運動

(2) 回転運動式を求める事により次式を得る。  $M^R = \beta_3 \eta^L + \beta_4 \eta_x^L + \gamma_3 \eta^L + \delta_3 \omega + M^L + L_3 Q^L \quad (10)$

$\alpha_5, \beta_5, \gamma_5$  等は式(15)は与えられていく。

$$Q^R = \alpha_5 \eta^L + \beta_6 \eta_x^L + \gamma_6 \eta^L + \delta_6 \omega + Q^L \quad (10)$$



$\omega^R = \omega^L = \omega$  — (11)であるから (9) ~ (11) 式は次の様に纏められる。

$$V^R = F V^L \quad (12) \quad \text{—— 状態ベクトル } V = \{ \varphi, \varphi_x, \gamma, \omega, M, Q \} \quad (13)$$

伝達マトリックス  $F$  ( $6 \times 6$ ) は、

$$F = \begin{bmatrix} 1 & \beta_1 & \delta_1 & 0 & 0 & 0 \\ 0 & 1 & \delta_2 & 0 & 0 & 0 \\ 0 & 0 & 1 & \delta_3 & 0 & 0 \\ 0 & 0 & 0 & 1 & 0 & 0 \\ d_5 & \beta_5 & \delta_5 & \delta_5 & 1 & \delta_5 \\ d_6 & \beta_6 & \delta_6 & \delta_6 & 0 & 1 \end{bmatrix} \quad (14)$$

$$\begin{aligned} \text{—— } & d_5 = i\sigma pl^3/2, d_6 = i\sigma pl, \beta_1 = -l, \beta_5 = -i\sigma pl^3/6 \\ & \beta_6 = -i\sigma pl^3/2, \delta_1 = -i\sigma l^3/2H, \delta_2 = i\sigma l/H \\ & \delta_5 = p\sigma^2 l^4/24H + p\sigma l^2/2 - m\sigma^3 l^2/2, \delta_6 = p\sigma^2 l^3/6H + p\sigma l - m\sigma^2 l \\ & \delta_1 = i\sigma l^3/6H, \delta_2 = -i\sigma l^3/2H, \delta_3 = -l \\ & \delta_5 = -p\sigma^2 l^5/24H - p\sigma l^3/6 + m\sigma^3 l^3/6 \\ & \delta_6 = -p\sigma^2 l^4/24H - p\sigma l^2/2 + m\sigma^3 l^2/2, \delta_5 = l \\ & m = 物の単位長さ当たりの質量. \end{aligned}$$

— (15)

### (3.2) 格子上での運動条件 —— 格子上では垂直バネ、回転

バネ  $i$  は重直力と回転角との距離があり、更に波のエネルギー保存則により速度ボテンシャルも運動条件が存在する。即ち

- (1) 重直力  $A$  と合計より、  $Q_{j+1}^L = Q_j^R + k_j y_j^R$
- (2) モーメント・回転角関係より、  $\omega_{j+1}^L = \omega_j^R - M_{j+1}^L/k_j$
- (3) 波のエネルギー保存則より  $y_{j+1}^{(j+1)R} = H_{j+1}/H_j \cdot y_{j+1}^{(j+1)L}$

一方、(4) 波の質量保存則より  $\dot{\varphi}_{j+1}^{(j+1)} = \dot{\varphi}_j^{(j+1)}$   $\varphi$  は連続し、

$\eta, M$  も連続する。これらを纏めれば次式となる。

$$P_j = \begin{bmatrix} 1 & 0 & 0 & 0 & 0 & 0 \\ 0 & \lambda_j & 0 & 0 & 0 & 0 \\ 0 & 0 & 1 & 0 & 0 & 0 \\ 0 & 0 & 0 & 1 & 0 & 0 \\ 0 & 0 & 0 & 0 & 1 & 0 \\ 0 & 0 & k_j & 0 & 0 & 1 \end{bmatrix} \quad (17)$$

但し、 $\lambda_j = H_j/H_{j+1}$

$$V_{j+1}^L = P_j V_j^R \quad (16) \quad \therefore \text{Point マトリックス } P_j ( $6 \times 6$ ) の内容は (17) 式で示す。$$

従って (12)(16) 式を組み合せれば浮板全体の計算は、 $V_{j+1}^L = P_j F_j P_{j-1} F_{j-1} \cdots P_1 F_1 V_1^L$  — (18) で行える。

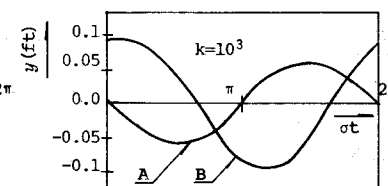
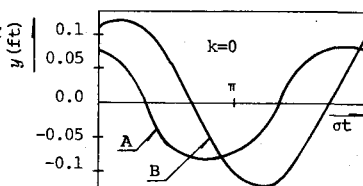
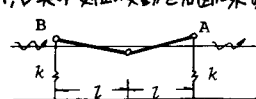
### (3.3) 連続浮板 最左端、最右端の境界条件 —— 浮板の力学的条件 亂れ 波の質量・エネルギー保存則とはより

- (1) 最左端 ( $I=0$ )  $\dot{\varphi}_{I+1}^{(0)} = \dot{\varphi}_{I+1}^{(1)}, \eta_{I+1}^{(0)} = H_I \eta_{I+1}^{(1)}, M_I^L = 0, Q_I^L = -k_I y_I^L$  — (19)  $V_I^L = \Omega A_I^L$  — (19')
  - (2) 最右端 ( $I_N=0$ )  $\dot{\varphi}_{I+1}^{(N)} = \dot{\varphi}_{I+1}^{(N+1)}, H_N \eta_{I+1}^{(N)} = H_N \eta_{I+1}^{(N+1)}, M_N^R = 0, Q_N^R = -k_N y_N^R$  — (20)  $\Omega' V_N^R = 0$  — (20')
- これらより式 (4) の未知量  $R, T$  が加わり、荷重項は相当する入射波高  $C$  が与えられたので計算は  $I=1$  から、(13) 式の状態ベクトルを  $V = \{ R, T, \varphi, \varphi_x, \gamma, \omega, M, Q, 1 \}$  と修正し、 $F, P$  も  $(8 \times 9)$  のマトリックスで構成すれば良くなる。図面の関係上省略する。(19)(20) 式の境界マトリックス：最左端  $\Omega$  ( $9 \times 5$ )、最右端  $\Omega'$  ( $4 \times 9$ )、及び初期ベクトル  $A = \{ T, R, \gamma, \omega, 1 \}$  とより書き改めれば (19)'(20)' 式となる。従って最終的に連続浮板の解析は、(21) 式より得られることで 4 連立一次方程式を解くことに帰着される。 $\Omega' F_N P_{N-1} F_{N-1} \cdots P_1 F_1 \Omega A_1^L = 0$  — (21)

### 4 数値計算例 両端支持

拘束条件：2枚浮板。諸元は  $C=1 \text{ ft/sec}$ ,  $L=8 \text{ ft}$ ,  $h=1 \text{ ft}$ ,  $l=4 \text{ ft}$ ,  $\sigma=4.46 \text{ rad/sec}$ .

A, B 点の変位の変動を右図に示す。



1) Stoker, J. J.: Water Waves, Interscience Publishers, 1957.

2) Wen, Y. K., & Shinouzuka, M.: Analysis of Floating Plate Under Ocean Waves, ASCE, Vol. 98, No. WW2, 1972.

3) Wen, Y. K.: Interaction of Ocean Waves with Floating Plate, ASCE, Vol. 100, No. EM2, 1974.

4) 計算書：任意形状のフロートの運動と波の相互作用の解析，50年度研究会部，II-66.